

МИНОБРНАУКИ РОССИИ

Федеральное государственное бюджетное образовательное учреждение
высшего образования

**«САРАТОВСКИЙ НАЦИОНАЛЬНЫЙ ИССЛЕДОВАТЕЛЬСКИЙ
ГОСУДАРСТВЕННЫЙ УНИВЕРСИТЕТ
ИМЕНИ Н. Г. ЧЕРНЫШЕВСКОГО»**

Кафедра математической кибернетики и информационных технологий

РЕАЛИЗАЦИЯ ФИЗИЧЕСКОГО ДВИЖКА С DOD И ECS

АВТОРЕФЕРАТ БАКАЛАВРСКОЙ РАБОТЫ

студента 4 курса 411 группы
направления 02.03.02 — Фундаментальная информатика и информационные
технологии
факультета КНиИТ
Павлова Егора Дмитриевича

Научный руководитель

доцент, к. т. н.

М. В. Хамутова

Заведующий кафедрой

доцент, к. ф.-м. н.

С. В. Миронов

Саратов 2026

Структура и объем работы

Выпускная квалификационная работа состоит из введения, двух глав, заключения, списка литературы и приложений.

Краткое содержание работы

Первая глава посвящена анализу существующих архитектурных подходов и математического аппарата физического моделирования.

В разделе 1.1 рассмотрена классификация физических движков по целевому назначению, архитектурному подходу, размерности и модели лицензирования. Отмечена тенденция перехода от объектно-ориентированного программирования к data-oriented архитектурам.

В разделе 1.2 выполнен анализ особенностей современных процессорных архитектур. Рассмотрен эффект Memory Wall — расхождение между темпами роста производительности процессоров и скорости доступа к памяти. Описана иерархия кэш-памяти (L1, L2, L3), принципы пространственной и временной локальности, конвейеризация выполнения инструкций и работа предсказателя ветвлений. Показано, что косвенные переходы при виртуальных вызовах провоцируют ошибки предсказания и остановки конвейера. Выделены три фундаментальные проблемы объектно-ориентированных реализаций: неэффективное использование кэша из-за разброса объектов по памяти, ложное разделение данных в многопоточных средах и неоптимальность формата Array of Structures для SIMD-вычислений.

В разделах 1.3–1.6 проведён детальный обзор существующих физических движков. Vox2D проанализирован как эталонный представитель объектно-ориентированного подхода; выявлены системные недостатки, связанные с низкой локальностью данных и сложностью распараллеливания. Bullet Physics рассмотрен как пример переходной архитектуры; показано, что гибридный подход не позволяет полностью реализовать преимущества ни одной из парадигм. PhysX проанализирован как промышленное решение с поддержкой GPU-ускорения; отмечена обязательная организация данных в формате Structure of Arrays для эффективной работы в GPU-режиме. Unity Physics на платформе DOTS рассмотрен как наиболее последовательное воплощение компонентно-ориентированного подхода.

В разделе 1.7 изложен математический аппарат. Рассмотрены кинематика

и динамика твёрдого тела, уравнения Ньютона-Эйлера, тензор инерции. Описаны численные методы интегрирования: метод Эйлера, интегрирование кватерниона ориентации. Детально рассмотрены алгоритмы обнаружения столкновений: ограничивающие объёмы (AABB, OBB), пространственное хеширование для широкой фазы, теорема о разделяющей оси для ориентированных параллелепипедов, алгоритм Гилберта-Джонсона-Кирти с опорной функцией. Изложены методы разрешения столкновений: импульсный метод, метод последовательных импульсов, стабилизация Баумгарте, ограничение трения конусом Кулона.

Вторая глава посвящена описанию программной архитектуры и ключевых алгоритмов разработанного движка.

В разделе 2.1 обоснован выбор технологического стека: язык Rust (безопасность памяти без сборщика мусора, гарантии отсутствия гонок данных), библиотека ash для низкоуровневого доступа к Vulkan, winit для создания окон, cgmath для математических операций, dear-imgui для отладочного интерфейса.

Архитектурная структура приложения выглядит следующим образом:

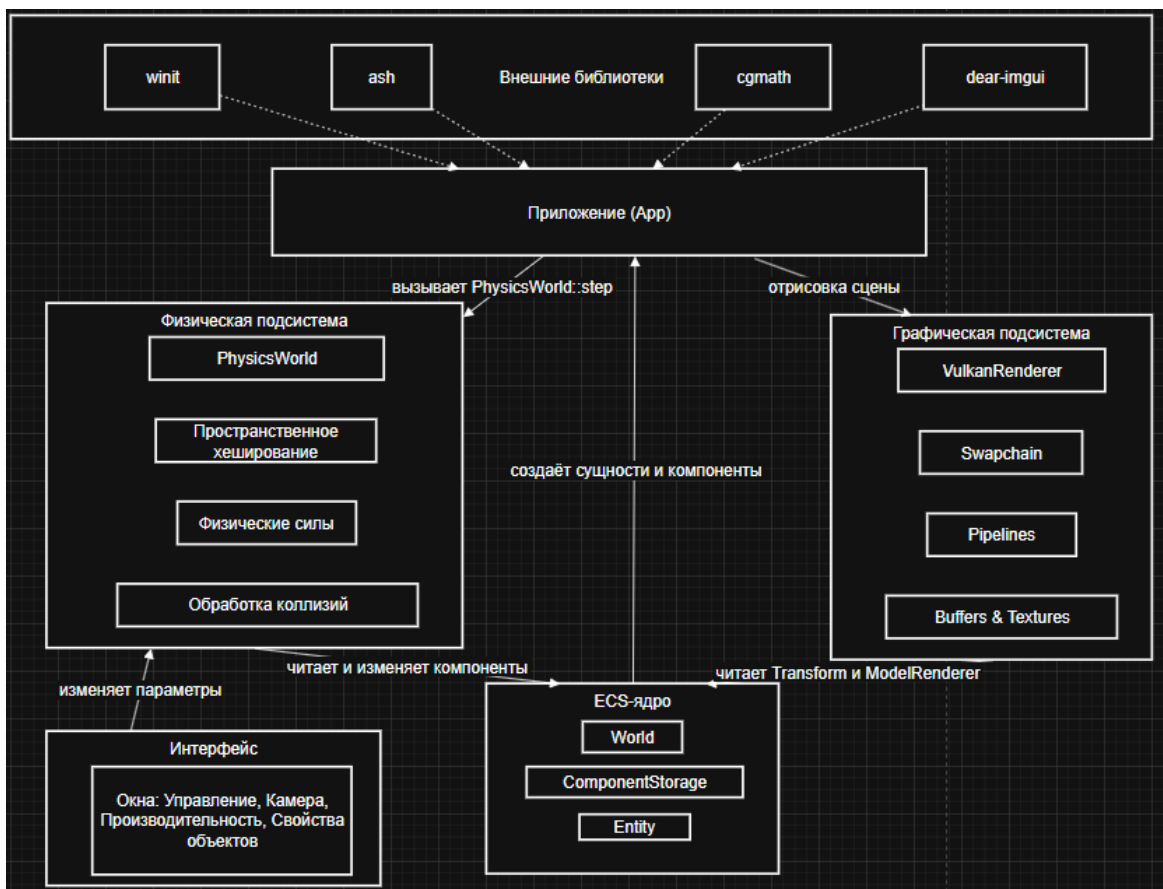


Рисунок 1 – Архитектурная схема приложения

В разделе 2.2 представлена архитектура ECS. Сущность (Entity) - это лег-

ковесный идентификатор с атомарным счётчиком. `ComponentStorage<T>` реализует разреженное множество: плотный массив данных, `HashMap` для связи сущностей с индексами, вспомогательный вектор для итерации. Вставка выполняется за амортизированное $O(1)$, удаление — через `swap-remove` за $O(1)$. Итерация обходит массив последовательно, обеспечивая оптимальную загрузку кэш-линий. `World` агрегирует хранилища компонентов по `TypeId`.

В разделе 2.3 описана физическая подсистема. Компоненты: `Transform` (позиция, ориентация, масштаб), `RigidBody` (масса, инерция, скорости, флаги), `Collider` (сфера или параллелепипед, статичность). Главный цикл шага включает интегрирование сил, обнаружение столкновений, тёплый старт, позиционную коррекцию, пробуждение тел, скоростной солвер, интегрирование скоростей и проверку сна. Широкая фаза на пространственном хешировании имеет сложность $O(n)$. Узкая фаза диспетчеризует проверки по типам коллайдеров: сфера-сфера (сравнение расстояния с суммой радиусов), сфера-ОВВ (ближайшая точка в локальном пространстве), ОВВ-ОВВ (теорема о разделяющей оси, 15 осей). Решатель контактов реализует метод последовательных импульсов: вычисление относительной скорости в точке контакта, эффективной массы, нормального импульса с Baumgarte-стабилизацией и накоплением, тангенциальных импульсов с ограничением конусом Кулона. Тёплый старт использует дискретизацию локальных координат для построения устойчивых идентификаторов контактов.

В разделе 2.4 описана интеграция с `Vulkan`. Модуль `vulkan.rs` обеспечивает создание графического конвейера, управление памятью и синхронизацию. Система рендеринга реализована как ECS-система: обход сущностей с `Transform` и `ModelRenderer`, формирование TRS-матрицы, передача данных через push-константы.

В разделе 2.5 описан интерфейс на `dear-imgui`: окна управления параметрами симуляции, менеджер сцен, настройки камеры, информация о выбранном объекте, мониторинг производительности. Выбор объекта — трассировка луча с аналитическим решением пересечения со сферой.

В разделе 2.6 приведены демонстрационные сцены: падение сфер, башня из объектов, пирамида из параллелепипедов.

Виды демонстрационных сцен приложения приведён ниже:

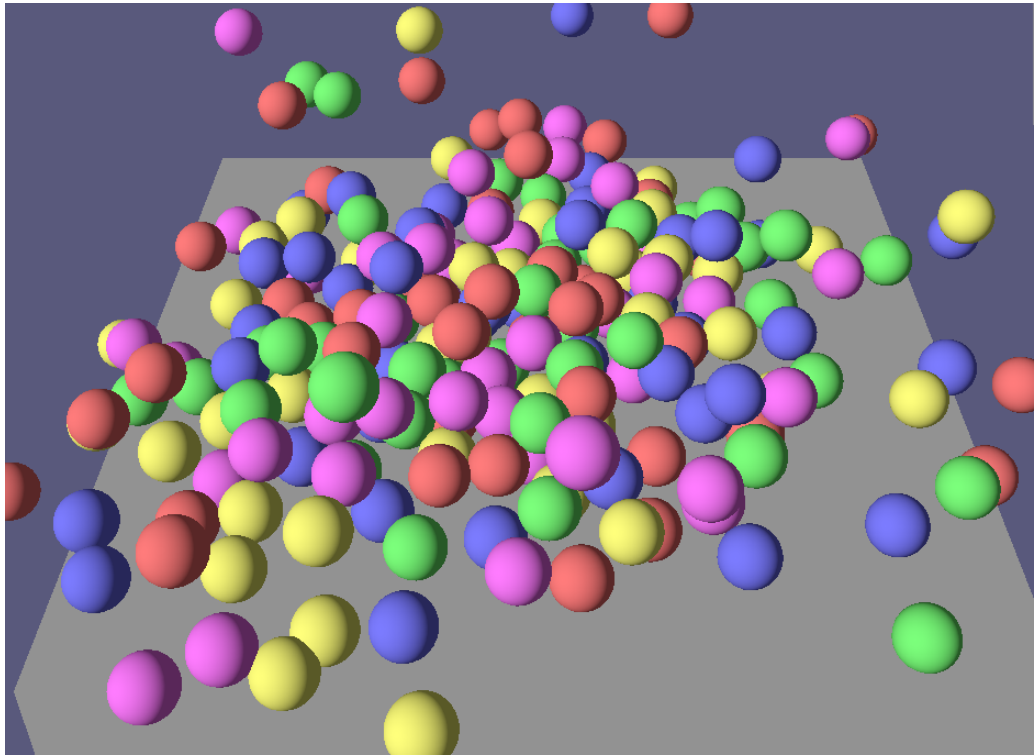


Рисунок 2 – Большое количество объектов

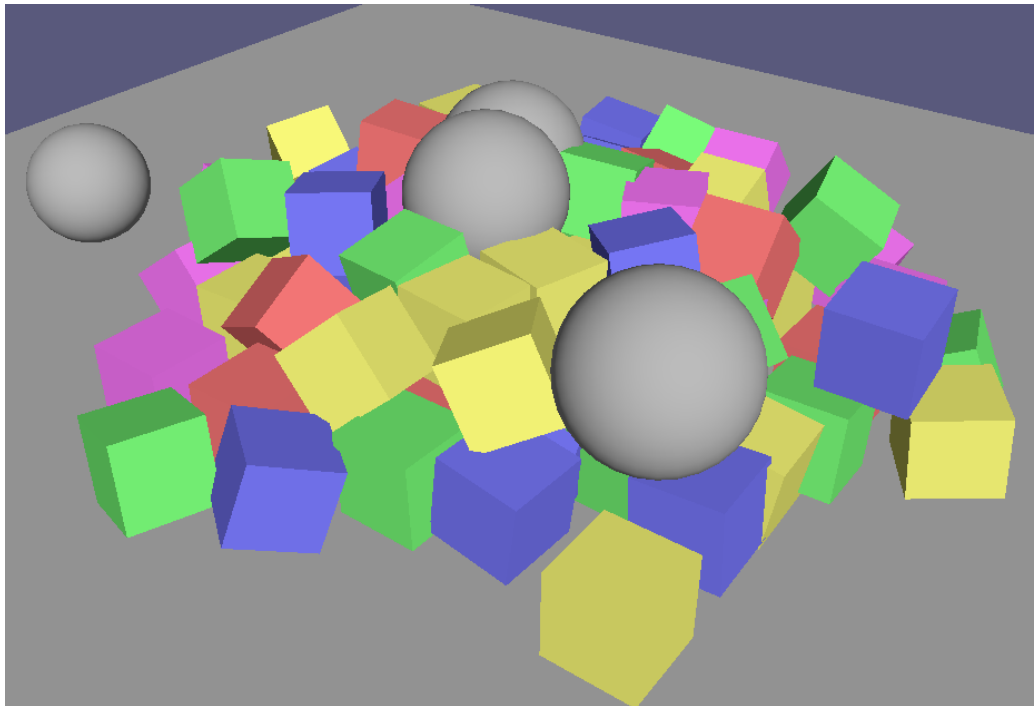


Рисунок 3 – Большое количество объектов

ЗАКЛЮЧЕНИЕ

1. Был проведён анализ существующих архитектур физических движков, выявлены фундаментальные ограничения объектно-ориентированного подхода и обоснован переход к Data-Oriented Design.
2. Разработана собственная реализация ECS на Rust с хранением компонентов в непрерывных массивах по принципу Structure of Arrays, обеспечивающая последовательный доступ к памяти и отсутствие виртуальных вызовов.
3. Реализована физическая подсистема, включающая пространственное хеширование для широкой фазы, теорему о разделяющей оси для узкой фазы и метод последовательных импульсов с тёплым стартом, стабилизацией Баумгарте и ограничением трения конусом Кулона.
4. Выполнена интеграция с Vulkan через ash, создан отладочный интерфейс на dear-imgui с возможностью изменения параметров симуляции в реальном времени.
5. Созданы демонстрационные сцены, подтверждающие работоспособность архитектуры и масштабируемость при увеличении числа объектов.

Дальнейшее развитие работы может быть связано с реализацией многопоточного планировщика ECS-систем, внедрением SIMD-оптимизаций и расширением набора типов коллайдеров.